

УДК 532.595

## АВТОКОЛЕБАНИЯ ПЛАСТИНЫ, ВЗАИМОДЕЙСТВУЮЩЕЙ С ПОТОКОМ ЖИДКОСТИ

К. В. АВРАМОВ\*, Е. А. СТРЕЛЬНИКОВА\*,  
А. А. КИРЕЕНКОВ\*\*

\* Институт проблем машиностроения им. А.Н. Подгорного НАН Украины, Харьков

\*\* Институт проблем механики РАН, Москва

Получено 8.10.2010

Рассмотрены автоколебания пластины при двухстороннем взаимодействии с движущимся потоком жидкости. Перепад давлений, действующий на пластинку, описывается гиперсингулярным интегральным уравнением, которое решается методом Галеркина. В модели колебаний пластины учтена геометрическая нелинейность. Движение пластины описывается нелинейной динамической системой с конечным числом степеней свободы.

Досліджено автоколивання пластины при двосторонній взаємодії з потоком рідини, що рухається. Перепад тиску, який діє на пластину, описується гіперсингулярним інтегральним рівнянням, яке розв'язано методом Гальоркіна. В моделі коливань пластины враховано геометричну нелінійність. Рух пластины описується нелінійною динамічною системою із скінченним числом ступенів вільності.

Self-sustained vibrations of plates at two-sided interaction with moving fluid are considered. Fluid-structure interaction is described by a hyper singular integral equation, which is solved by Galerkin method. The plate performs geometrical nonlinear vibrations, which is described by finite-degree-of-freedom nonlinear dynamical system.

### ВВЕДЕНИЕ

Тонкостенные конструкции, взаимодействующие с движущейся жидкостью и газом, широко используются в морской и аэрокосмической технике, энергетике. При определенных параметрах взаимодействия пластины с потоком жидкости возникает флаттер. Примером исследований, проводимых в этой области, может служить анализ динамической устойчивости подводных крыльев судов и изучение динамики гребных винтов. Болотин, Гришко и др. [1] рассматривают упругую панель в потоке при сверхзвуковых скоростях; поток описывается поршневой теорией. При исследовании многозначности решений в системе с конечным числом степеней свободы применяется прямое численное интегрирование. Нелинейная динамика панели в потоке газа при сверхзвуковых скоростях в области дивергентной и флаттерной потери устойчивости рассматривается в работе [2]. В статье [3] изучается возможность управления флаттером. Отмечается, что в области флаттера желательно учитывать нелинейность как механической, так и аэродинамической подсистем. В [4] рассматривается пластина под действием постоянной нагрузки в плоскости и взаимодействующая с потоком газа. Показано, что шести собственных форм достаточно для адекватного описания поведения системы. Однако для некоторых значений параметров число мод, необходимых для адекватного

описания поведения системы, равняется 30. Попеску [5] для дискретизации пластинки применяет метод конечных элементов. Связь между деформациями и перемещениями описывается теорией Кармана; поток, действующий на пластинку, моделируется поршневой теорией. Автоколебания ламинированной пластины под действием температурных нагрузок в области флаттера исследуются в [6]. Показано, что амплитуды автоколебаний существенно зависят от температуры. Новицков [7] использует модели трехмерного потенциального течения для описания давлений, действующих на колеблющуюся пластину. Полученные результаты сравниваются с данными поршневой теории. В статье [8] предполагается, что пластина обтекается безвихревым потоком газа. Для построения математической модели потока используется метод дискретных вихрей. Танг, Довэлл [9] рассмотрели пластинку в несжимаемом невязком и потенциальном потоке с малыми дозвуковыми скоростями. Для его описания применяется метод дискретных вихрей. Аэроупругая неустойчивость панели в дозвуковом потоке изучается в статье [10]; поток предполагается двухмерным и несжимаемым. Давление, действующее со стороны потока на пластину, описывается гиперсингулярным интегралом. Задача сводится к линейному интегро-дифференциальному уравнению. В статье [11] рассматриваются колебания пластинки в потоке сжимаемого газа. Задача сводится к анализу уравнения Вольтера. Системное изложение моде-

лей и методов исследования взаимодействия конструкций с потоками газа рассматривается в монографии [12].

Значительно меньше работ посвящено анализу колебаний систем жидкость-пластина. Здесь мы приведем только две работы. Колебания пластинки, погруженной в жидкость, рассматриваются в [13]. Для дискретизации пластинки применяется метод конечных элементов. Давление жидкости определяется из гиперсингулярного интегрального уравнения. Линейные колебания консольной пластинки при ее двухстороннем взаимодействии с жидкостью рассматриваются в [14]. Для изучения взаимодействия пластинки с жидкостью применяется метод гиперсингулярных интегральных уравнений. С помощью метода граничных элементов гиперсингулярное интегральное уравнение сводится к системе линейных алгебраических уравнений.

В настоящей статье рассматривается движущийся поток жидкости, взаимодействующий с упругой пластиной. Рассматриваются автоколебания пластины при ее геометрически нелинейном деформировании. Взаимодействие жидкости с пластиной описывается гиперсингулярным интегральным уравнением, которое решается методом Бубнова-Галеркина. Автоколебания пластины описываются нелинейной динамической системой с конечным числом степеней свободы и исследуются методом нелинейных нормальных форм Шу-Пьера.

### 1. ПОСТАНОВКА ЗАДАЧИ

Рассмотрим динамику шарнирно-опертой пластины в потоке невязкой, несжимаемой, безвихревой жидкости, которая на некотором расстоянии от пластинки имеет постоянную скорость  $V$  (рис. 1). Динамика жидкости описывается потенциалом скоростей  $\varphi(x, y, z, t)$ . Поперечные перемещения пластины обозначим через  $w(x, y, t)$ . Тогда условие непротекания жидкости через поверхность пластины представим так:

$$\begin{aligned} \frac{\partial \varphi}{\partial z} \Big|_{z=w+\frac{h}{2}} &= V \frac{\partial w}{\partial x} + \frac{\partial w}{\partial t}; \quad \frac{\partial \varphi}{\partial z} \Big|_{z=w-\frac{h}{2}} = \\ &= V \frac{\partial w}{\partial x} + \frac{\partial w}{\partial t}; \end{aligned} \quad (1)$$

где  $h$  – толщина пластинки.

Используя интеграл Коши-Лагранжа, получим величину давления, действующего на поверхность пластины:

$$\frac{p_+ - p_-}{\rho_w} = \frac{\partial(\varphi_- - \varphi_+)}{\partial t} + V \frac{\partial(\varphi_- - \varphi_+)}{\partial x}, \quad (2)$$

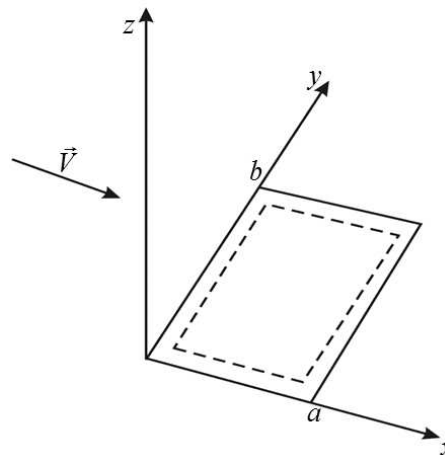


Рис. 1. Эскиз исследуемой системы

где  $p_+, p_-$  – давления жидкости на верхнюю и нижнюю стороны пластины;  $\varphi_+, \varphi_-$  – значения потенциала скоростей на верхней и нижней сторонах пластины;  $\rho_w$  – плотность жидкости. На краях пластинки применим гипотезу Чаплыгина-Жуковского [8, 15]:  $p_+ \rightarrow p_-$ .

Следуя [16 – 19], функцию  $\varphi(x, y, z, t)$  представим в виде потенциала двойного слоя:

$$\begin{aligned} \varphi(x, y, z, t) &= \frac{1}{4\pi} \int_S \gamma(\xi, t) \frac{\partial}{\partial n_\xi} \times \\ &\times \frac{1}{\sqrt{(x - \xi_1)^2 + (y - \xi_2)^2 + (z - \xi_3)^2}} dS, \end{aligned} \quad (3)$$

где  $n_\xi$  – орт нормали к поверхности пластинки;  $\gamma(\xi, t) = \varphi_+ - \varphi_-$  – циркуляция скорости;  $S = \{(x, y) \in R^2 | 0 \leq x \leq a; 0 \leq y \leq b\}$  – область, занимаемая срединной плоскостью пластинки. Уравнение (3) введем в (1), в результате получим следующее гиперсингулярное интегральное уравнение:

$$\begin{aligned} V \frac{\partial w}{\partial x} + \frac{\partial w}{\partial t} &= \frac{1}{4\pi} \int_S \gamma(\xi, t) \frac{\partial^2}{\partial z \partial n_\xi} \times \\ &\times \left( \frac{1}{\sqrt{(x - \xi_1)^2 + (y - \xi_2)^2 + (z - \xi_3)^2}} \right) dS. \end{aligned} \quad (4)$$

После тождественных преобразований уравнение (4) может быть представлено так:

$$V \frac{\partial w}{\partial x} + \frac{\partial w}{\partial t} = \frac{1}{4\pi} \int_S \frac{\gamma(\xi_1, \xi_2, t) d\xi_1 d\xi_2}{[(x - \xi_1)^2 + (y - \xi_2)^2]^{3/2}}. \quad (5)$$

Исследуем тонкие пластинки, поэтому деформациями сдвига и инерцией вращения пренебрегаем. Линейные колебания таких пластинок опишем

следующим уравнением:

$$\frac{h^2}{12}\nabla^4 w + \rho_p \frac{1-\mu^2}{E}\ddot{w} + \frac{(1-\mu^2)\rho_w}{Eh} \times (\dot{\gamma} + V\gamma'_x) = 0, \quad (6)$$

где  $\rho_p$  – плотность материала пластинки;  $E, \mu$  – модуль Юнга и коэффициент Пуассона.

Если пластина испытывает автоколебания, ее деформации описываются на основании геометрически нелинейной теории. Амплитуды колебаний пластинки конечны. Тогда движения системы жидкость-пластинка опишем гиперсингулярным интегральным уравнением (4) и уравнениями Вон фон Кармана:

$$\frac{h}{12}\nabla^4 w + \frac{(1-\mu^2)\rho_p}{E}\ddot{w} + \frac{(1-\mu^2)\rho_w}{Eh}(\dot{\gamma} + V\gamma'_x) = \frac{(1-\mu^2)}{Eh}(F''_{YY}w''_{XX} - 2F''_{XY}w''_{XY} + F''_{XX}w''_{YY}); \quad (7)$$

$$\frac{1}{Eh}\nabla^4 F = (w''_{XY})^2 - w''_{XX}w''_{YY}, \quad (8)$$

где  $F$  – функция напряжений.

## 2. РЕШЕНИЕ ГИПЕРСИНГУЛЯРНОГО ИНТЕГРАЛЬНОГО УРАВНЕНИЯ

Циркуляцию скорости разложим по собственным формам колебаний шарнирно опертой пластинки:

$$\gamma(\xi_1, \xi_2, t) = \sum_{l=1}^{N_1} \sum_{m=1}^{N_1} C_{lm}(t) \sin\left(\frac{l\pi\xi_1}{a}\right) \times \sin\left(\frac{m\pi\xi_2}{b}\right); \quad (9)$$

а прогиб пластины  $w$  представим так:

$$w(x, y, t) = \sum_{r_1=1}^{N_S} \sum_{r_2=1}^{N_S} \theta_{r_1 r_2} \sin\left(\frac{r_1\pi x}{a}\right) \sin\left(\frac{r_2\pi y}{b}\right). \quad (10)$$

Соотношения (9), (10) введем в гиперсингулярное интегральное уравнение (5) и воспользуемся методом Бубнова-Галеркина. В результате получим систему линейных алгебраических уравнений относительно  $C_{l,m}(t)$ :

$$\sum_{l=1}^{N_1} \sum_{m=1}^{N_1} a_{n_1 n_2 l m} C_{l m}(t) = b_{n_1 n_2}; \quad n_1 = 1, \dots, N_1; n_2 = 1, \dots, N_1, \quad (11)$$

где

$$a_{n_1 n_2 l m} = \frac{1}{4\pi} \int_S \sin\left(\frac{n_1\pi x}{a}\right) \sin\left(\frac{n_2\pi y}{b}\right) dx dy \times \int_S \frac{\sin\left(\frac{l\pi\xi_1}{a}\right) \sin\left(\frac{m\pi\xi_2}{b}\right) d\xi_1 d\xi_2}{[(x-\xi_1)^2 + (y-\xi_2)^2]^{3/2}};$$

$$b_{n_1 n_2} = \int_S \left(V \frac{\partial w}{\partial x} + \frac{\partial w}{\partial t}\right) \sin\left(\frac{n_1\pi x}{a}\right) \times \sin\left(\frac{n_2\pi y}{b}\right) dx dy = 0.25bV \sum_{r_1=1}^{N_S} \sum_{r_2=1}^{N_S} \theta_{r_1}(t) r_1 \delta_{r_2 n_2} \times \vartheta_{n_1, n_2, r_1} + 0.25ab \sum_{r_1=1}^{N_S} \sum_{r_2=1}^{N_S} \dot{\theta}_{r_1 r_2}(t) \delta_{r_1 n_1} \delta_{r_2 n_2};$$

$\delta_{r_2 n_2}$  – символ Кронекера;

$$\vartheta_{n_1 n_2 r_1} = \frac{1 - \delta_{n_1 r_1}}{n_1 - r_1} [1 - (-1)^{n_1 - r_1}] + \frac{1 - (-1)^{n_1 + r_1}}{n_1 + r_1}.$$

Решение системы линейных алгебраических уравнений (11) представим так:

$$C_{lm} = \sum_{r_1=1}^{N_S} \sum_{r_2=1}^{N_S} C_{lm}^{(r_1 r_2)}(t); \quad l = 1..N_1; m = 1..N_1. \quad (12)$$

Решение (12) введем в (11); получим системы линейных алгебраических уравнений. Решения этих систем представим так:

$$C_{l,m}^{(r_1 r_2)} = 0.25Vb\theta_{r_1 r_2}(t)\overline{\varphi}_{l,m}^{(r_1 r_2)} + 0.25ab\dot{\theta}_{r_1 r_2}(t)\overline{\overline{\varphi}}_{l,m}^{(r_1 r_2)}; \quad l = 1, \dots, N_1; m = 1, \dots, N_1; r_1 = 1, \dots, N_S; r_2 = 1, \dots, N_S. \quad (13)$$

Параметры  $\overline{\varphi}_{l,m}^{(r_1 r_2)}$  и  $\overline{\overline{\varphi}}_{l,m}^{(r_1 r_2)}$  определяются из следующих систем линейных алгебраических уравнений:

$$\sum_{l=1}^{N_1} \sum_{m=1}^{N_1} a_{n_1 n_2 l m} \overline{\varphi}_{l,m}^{(r_1 r_2)} = r_1 \delta_{r_2 n_2} \vartheta_{n_1 n_2 r_1}; \quad (14)$$

$$\sum_{l=1}^{N_1} \sum_{m=1}^{N_1} a_{n_1 n_2 l m} \overline{\overline{\varphi}}_{l,m}^{(r_1 r_2)} = \delta_{r_1 n_1} \delta_{r_2 n_2}; \quad n_1 = 1, \dots, N_1; n_2 = 1, \dots, N_1; r_1 = 1, \dots, N_S; r_2 = 1, \dots, N_S. \quad (15)$$

Рассмотрим расчет элементов матрицы системы линейных алгебраических уравнений  $a_{n_1 n_2 l m}$ . Коэффициенты  $a_{n_1 n_2 l m}$  вычисляются из гиперсингулярных интегралов (11). На основании интегрирования по частям, коэффициенты  $a_{n_1 n_2 l m}$  могут быть представлены так:

$$a_{n_1 n_2 l m} = \frac{n_1 \pi l}{4a^2} \int \frac{\cos\left(\frac{n_1 \pi x}{a}\right) \sin\left(\frac{n_2 \pi y}{b}\right) \cos\left(\frac{l \pi \xi_1}{a}\right)}{\sqrt{(x-\xi_1)^2 + (y-\xi_2)^2}} \times$$

$$\begin{aligned} & \times \sin\left(\frac{m\pi\xi_2}{b}\right) d\xi_1 d\xi_2 dx dy + \frac{n_2\pi m}{4b^2} \times \quad (16) \\ & \times \int_S \frac{\sin\left(\frac{n_1\pi x}{a}\right) \cos\left(\frac{n_2\pi y}{b}\right) \sin\left(\frac{l\pi\xi_1}{a}\right) \cos\left(\frac{m\pi\xi_2}{b}\right)}{\sqrt{(x-\xi_1)^2 + (y-\xi_2)^2}} \times \\ & \times d\xi_1 d\xi_2 dx dy. \end{aligned}$$

Используя правило вычисления гиперсингулярных интегралов, представленных в [16], можно получить следующее соотношение:

$$\begin{aligned} & \int_S \frac{\cos\left(\frac{l\pi\xi_1}{a}\right) \sin\left(\frac{m\pi\xi_2}{b}\right)}{\sqrt{(x-\xi_1)^2 + (y-\xi_2)^2}} d\xi_1 d\xi_2 = \cos\left(\frac{l\pi x}{a}\right) \times \\ & \times \sin\left(\frac{m\pi y}{b}\right) R(\Delta x, \Delta y) + \int_{S_F} \cos\left(\frac{l\pi\xi_1}{a}\right) \times \quad (17) \\ & \times \frac{\sin\left(\frac{m\pi\xi_2}{b}\right)}{\sqrt{(x-\xi_1)^2 + (y-\xi_2)^2}} d\xi_1 d\xi_2, \end{aligned}$$

где

$$\begin{aligned} S_F &= S - S_\epsilon; \\ S_\epsilon &= \{(\xi_1, \xi_2) \in R^2 | x - \Delta x < \xi_1 < x + \Delta x; y - \Delta y < \xi_2 < y + \Delta y\}; \end{aligned}$$

$$R(\Delta x, \Delta y) = \int_{-\Delta y}^{\Delta y} \ln \left[ \frac{\Delta x + \sqrt{\Delta x^2 + z^2}}{\sqrt{\Delta x^2 + z^2} - \Delta x} \right] dz.$$

Итак, в правой части уравнения (17) нет особенности в знаменателе; поэтому интегралы (17) не относятся к гиперсингулярным. Величины  $a_{n_1 n_2 l m}$  могут быть вычислены так:

$$\begin{aligned} a_{n_1 n_2 l m} &= \frac{n_1 \pi l}{4a^2} \int_S \cos\left(\frac{n_1 \pi x}{a}\right) \sin\left(\frac{n_2 \pi y}{b}\right) dx dy \times \\ & \times \int_{S_F} \frac{\cos\left(\frac{l \pi \xi_1}{a}\right) \sin\left(\frac{m \pi \xi_2}{b}\right)}{\sqrt{(x-\xi_1)^2 + (y-\xi_2)^2}} d\xi_1 d\xi_2 + \frac{n_2 \pi m}{4b^2} \times \\ & \times \int_S \cos\left(\frac{n_2 \pi y}{b}\right) \sin\left(\frac{n_1 \pi x}{a}\right) dx dy \times \quad (18) \\ & \times \int_{S_F} \frac{\sin\left(\frac{l \pi \xi_1}{a}\right) \cos\left(\frac{m \pi \xi_2}{b}\right)}{\sqrt{(x-\xi_1)^2 + (y-\xi_2)^2}} d\xi_1 d\xi_2 + \\ & + \frac{ab\pi}{16} R(\Delta x, \Delta y) \left( \frac{n_1 l}{a^2} + \frac{n_2 m}{b^2} \right) \delta_{mn_2} \delta_{ln_1}. \end{aligned}$$

### 3. МОДЕЛЬ КОЛЕБАНИЙ ПЛАСТИНЫ С КОНЕЧНЫМ ЧИСЛОМ СТЕПЕНЕЙ СВОБОДЫ

Построим дискретную модель колебаний пластины при ее геометрически нелинейном деформировании. Соотношение (10) введем в (8) и получим линейное неоднородное уравнение в частных производных. Решение этого уравнения представим так:

$$F = F_p + F_g, \quad (19)$$

где  $F_p$  – частное решение неоднородного уравнения;  $F_g$  – общее решение однородного уравнения. Частное решение неоднородного уравнения имеет следующий вид:

$$\begin{aligned} 0.5 F_p &= \sum_{r_1, r_2, p_1, p_2=1}^{N_S} \theta_{r_1 r_2} \theta_{p_1, p_2} [A_{r_1 r_2 p_1 p_2}^{(1)} \cos \eta(r_2 - p_2) \times \\ & \times \cos \xi(r_1 + p_1) + A_{r_1 r_2 p_1 p_2}^{(2)} \cos \eta(r_2 + p_2) \cos \xi(r_1 - p_1)] + \quad (20) \end{aligned}$$

$$+ \sum_{\Gamma_1}^{N_S} \theta_{r_1 r_2} \theta_{p_1 p_2} A_{r_1 r_2 p_1 p_2}^{(3)} \cos \eta(r_2 - p_2) \cos \xi(p_1 - r_1) +$$

$$+ \sum_{\Gamma_2}^{N_S} \theta_{r_1 r_2} \theta_{p_1 p_2} A_{r_1 r_2 p_1 p_2}^{(4)} \cos \eta(r_2 + p_2) \cos \xi(p_1 + r_1);$$

где

$$A_{r_1 r_2 p_1 p_2}^{(1)} = \frac{Eha^2 b^2 (r_1^2 p_2^2 + r_1 r_2 p_1 p_2)}{8[b^2(r_1 + p_1)^2 + a^2(r_2 - p_2)^2]^2};$$

$$A_{r_1 r_2 p_1 p_2}^{(2)} = \frac{Eha^2 b^2 (r_1^2 p_2^2 + r_1 r_2 p_1 p_2)}{8[b^2(r_1 - p_1)^2 + a^2(r_2 + p_2)^2]^2};$$

$$A_{r_1 r_2 p_1 p_2}^{(3)} = \frac{Eha^2 b^2 (r_1 r_2 p_1 p_2 - r_1^2 p_2^2)}{8[b^2(r_1 - p_1)^2 + a^2(r_2 - p_2)^2]^2};$$

$$A_{r_1 r_2 p_1 p_2}^{(4)} = \frac{Eha^2 b^2 (r_1 r_2 p_1 p_2 - r_1^2 p_2^2)}{8[b^2(r_1 + p_1)^2 + a^2(r_2 + p_2)^2]^2};$$

$$\Gamma_1 = [r_1, r_2, p_1, p_2 = 1, r_1 \neq r_2 \text{ и } p_1 \neq p_2, r_1 \neq p_1 \text{ и } r_2 \neq p_2];$$

$$\Gamma_2 = [r_1, r_2, p_2 = 1, r_1 \neq r_2 \text{ и } p_1 \neq p_2].$$

Общее решение однородного уравнения  $F_g$  определяется, используя процедуру из [20]. Функция напряжений удовлетворяет следующим условиям, которые подробно рассмотрены в [20]:

$$\int_0^a [N_y, N_{xy}]_{y=0} dx = 0; \int_0^a [N_y, N_{xy}]_{y=b} dx = 0;$$

$$\int_0^b [N_x, N_{xy}]_{x=0} dy = 0; \int_0^b [N_x, N_{xy}]_{x=a} dy = 0, \quad (21)$$

где  $N_X = \frac{\partial^2 F}{\partial y^2}$ ;  $N_Y = \frac{\partial^2 F}{\partial x^2}$ ;  $N_{XY} = -\frac{\partial^2 F}{\partial y \partial x}$ .

Учитывая (21), общее решение однородного уравнения принимаем нулевым:  $F_g = 0$ .

Теперь полученное решение (19), (20) введем в уравнение (7) и применим метод Галеркина. В результате получим следующую динамическую систему:

$$\sum_{l,m=1}^{N_S} (M_{n_1 n_2 l m} \ddot{\theta}_{l m} + D_{n_1 n_2 l m} \dot{\theta}_{l m}) + \quad (22)$$

$$+ R_{n_1 n_2}(\theta_{1,1}, \theta_{1,2}, \dots) = 0; n_1 = 1, \dots, N_S; n_2 = 1, \dots, N_S,$$

где

$$R_{n_1 n_2}(\theta_{1,1}, \theta_{1,2}, \dots) = - \int_S (F''_{YY} w''_{XX} - 2F''_{XY} w''_{XY} +$$

$$+ F''_{XX} w''_{YY}) \sin\left(\frac{n_1 \pi x}{a}\right) \sin\left(\frac{n_2 \pi y}{b}\right) dx dy =$$

$$= \sum_{r_1, r_2, p_1, p_2, l, m=1}^{N_S} \alpha_{l m r_1 r_2 p_1 p_2}^{(n_1, n_2)} \theta_{l m} \theta_{r_1 r_2} \theta_{p_1 p_2};$$

$$M_{n_1 n_2 l m} = \rho_p h \delta_{l n_1} \delta_{m n_2} + 0.25 \rho_W a b \overline{\overline{F}}_{n_1 n_2}^{(l, m)};$$

$$D_{n_1 n_2 l m} = 0.25 \rho_W V b (\overline{\overline{F}}_{n_1 n_2}^{(l, m)} + \overline{\overline{\varphi}}_{n_1 n_2}^{(l, m)});$$

$$K_{n_1 n_2 l m} = \delta_{l n_1} \delta_{m n_2} D \pi^4 \left( \frac{l^2}{a^2} + \frac{m^2}{b^2} \right)^2 + 0.25 \rho_W V^2 \times$$

$$\times a^{-1} b \overline{\overline{F}}_{n_1 n_2}^{(l, m)}; \overline{\overline{F}}_{n_1 n_2}^{(l, m)} = \sum_{r_1} r_1 \vartheta_{n_1 n_2 r_1} \overline{\overline{\varphi}}_{r_1 n_1}^{(l, m)};$$

$$\overline{\overline{F}}_{n_1 n_2}^{(l, m)} = \sum_{r_1} r_1 \vartheta_{n_1 n_2 r_1} \overline{\overline{\varphi}}_{r_1 n_1}^{(l, m)}.$$

#### 4. ЧИСЛЕННЫЙ АНАЛИЗ КОЛЕБАНИЙ

Проводились численные исследования динамики пластинки в потоке для следующих значений параметров:

$$E = 2 \cdot 10^{11} \text{Па}; \rho_p = 7.8 \cdot 10^3 \text{кг/м}^3; \rho_W = 1 \cdot 10^3 \text{кг/м}^3; \quad (23)$$

$$\nu = 0.3; h = 0.02 \text{м}; a = b = 0.5 \text{м}.$$

Анализ линейной части системы (22) при следующих значениях параметров разложения (9), (10):

$$(1) : N_1 = 3; N_S = 2;$$

$$(2) : N_1 = 3; N_S = 3; \quad (24)$$

$$(3) : N_1 = 4; N_S = 4$$

проводился для определения числа степеней свободы, необходимого для адекватного описания динамического поведения. Итак, случай 1 соответствует динамической системе (22) с 4 степенями свободы; случай 2 и 3 отвечает динамике системы с 9 и 16 степенями свободы соответственно.

Исследовалась устойчивость состояния равновесия  $\theta_{lm} = 0$  при изменении числа Маха  $M$ . Результаты анализа качественно представлены на бифуркационной диаграмме (рис. 2). На этом ри-

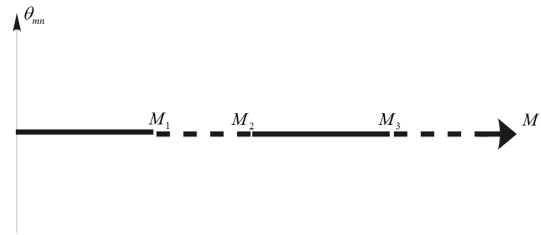


Рис. 2. Бифуркационная диаграмма состояния равновесия

сунке устойчивые состояния равновесия показаны сплошной линией, а неустойчивые – штриховой. Точки  $M = M_j; j = \overline{1, 3}$  являются бифуркационными. В точке  $M_1$  происходит потеря устойчивости; один характеристический показатель становится положительным. Такая потеря устойчивости называется дивергенцией [1]; неустойчивые состояния равновесия наблюдаются в диапазоне  $M \in [M_1; M_2]$ . В области  $M \in [M_2; M_3]$  состояние равновесия является устойчивым. В точке  $M = M_3$  наблюдается бифуркация Хопфа, которая приводит к флаттеру. Проводился численный анализ системы (22) с различным числом степеней свободы для случаев 1, 2, 3, представленных соотношениями (24). Для каждого из этих вариантов определялись параметры  $M_1, M_2, M_3$ . Результаты расчетов приведены в табл. 1.

Табл. 1. Бифуркационные значения числа Маха

–	1	2	3
$M_1$	0.0322	0.0303	0.030
$M_2$	–	0.0419	0.0412
$M_3$	–	0.0470	0.0455

В динамической системе с 4 степенями свободы наблюдается переход от устойчивого состояния равновесия к дивергенции; переход к автоколебаниям не обнаружен. Поэтому динамическая систе-

ма с 4 степенями свободы неадекватно описывает колебания пластины.

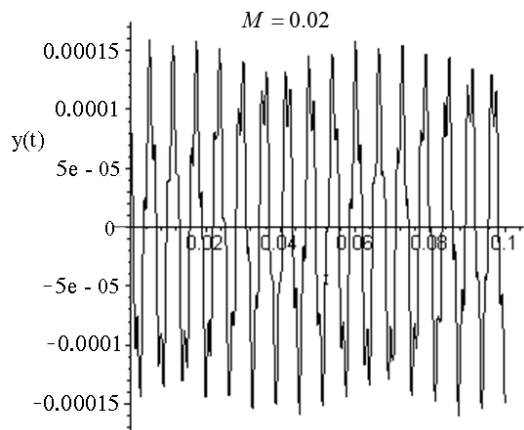


Рис. 3. Динамика линейной пластинки в потоке при  $M=0.02$

Для систем с 9 и 16 степенями свободы наблюдаются близкие значения параметров  $M_1, M_2, M_3$ , при которых обнаружены бифуркации. Поэтому девяти степеней свободы достаточно для адекватного описания линейной динамики пластины в потоке жидкости.

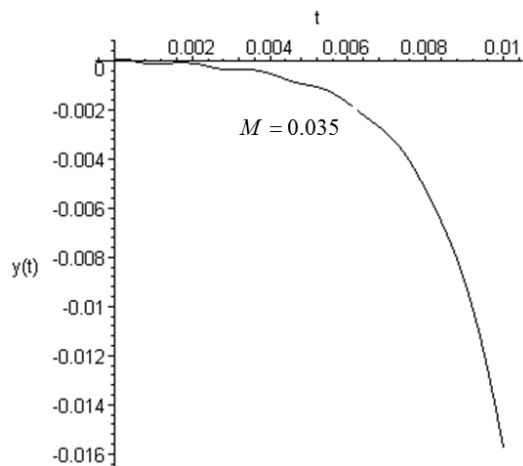


Рис. 4. Динамика линейной пластинки в потоке при  $M=0.035$

Для подтверждения полученных результатов анализа устойчивости нами проводилось прямое численное интегрирование динамической системы с 9 степенями свободы. Колебания системы при  $M = 0.02$  около устойчивого состояния равновесия представлены на рис. 3; потеря устойчивости вследствие дивергенции при  $M = 0.035$  показана на рис. 4. Устойчивые колебания при  $M = 0.0445$

показаны на рис. 5, а потеря устойчивости вследствие флаттера представлена на рис. 6.

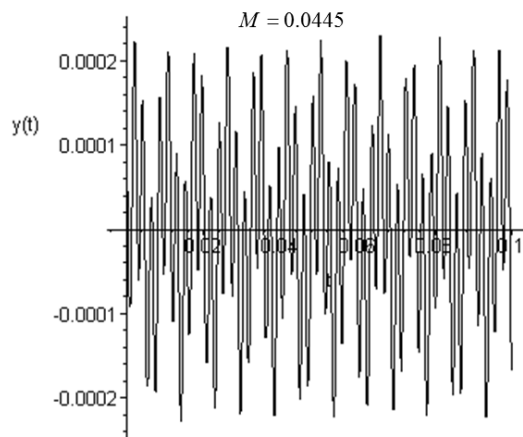


Рис. 5. Динамика линейной пластинки в потоке при  $M=0.0445$

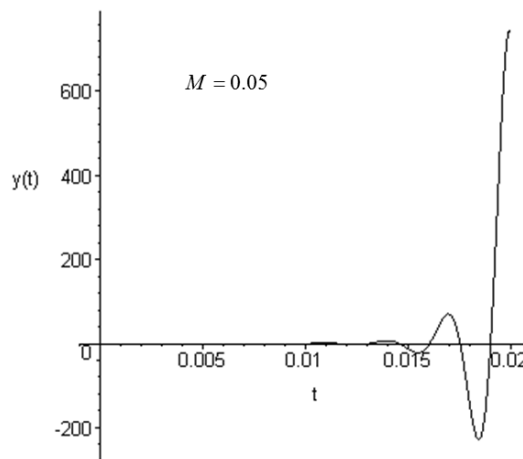


Рис. 6. Динамика линейной пластинки в потоке при  $M=0.05$

Исследования автоколебаний в системе (22) осуществляли, используя метод нелинейных нормальных форм Шоу-Пьера [21–23]. Расчеты проводились при различных числах Маха. Результаты анализа приведены на бифуркационной диаграмме (рис. 7). На этом рисунке устойчивые тривиальные состояния равновесия показаны сплошной линией, а неустойчивые – штриховой. В точке бифуркации Хопфа возникает предельный цикл. Развитие таких автоколебаний при увеличении числа Маха показано на рис. 7 сплошной линией.

Для проверки полученных данных по автоколебаниям системы проводилось прямое численное интегрирование системы (22). В качестве началь-

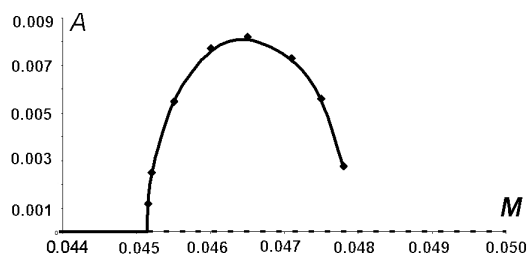


Рис. 7. Бифуркационная диаграмма системы

ных условий выбирались точки на нелинейных модах. Результаты расчета представлены на рис. 7 ромбами. Итак, результаты прямого численного интегрирования близки к данным, полученным методом нелинейных мод.

## ВЫВОДЫ

В статье исследован процесс взаимодействия колеблющейся пластинки с потоком движущейся жидкости. Жидкость предполагается несжимаемой, невязкой и безвихревой. Модель колебаний жидкости линеаризована. Взаимодействие жидкости с пластинкой описывается гиперсингулярным интегральным уравнением. В статье используется метод Галеркина для приближенного решения этого уравнения.

Для исследования автоколебаний пластинки в ее модель включена геометрическая нелинейность, которая ограничивает амплитуды автоколебаний в области неустойчивости тривиального состояния равновесия.

Эта работа была частично поддержана Фондом фундаментальных исследований Украины в рамках проекта Ф28/257.

1. Bolotin V. V., Grishko A. A., Kounadis A. N., Gantes C. J. Non-linear panel flutter in remote post-critical domains // Int. J. Non-Linear Mechanics.– 1998.– **33**, N 5.– С. 753–764.
2. Bolotin V. V., Petrovsky A. V., Grishko A. A. Secondary bifurcations and global instability of an aeroelastic non-linear system in the divergence domain // Journal of Sound and Vibration.– 1996.– **191**(3)– С. 431–451.
3. L. Librescu, G. Chiochia, P. Marzocca Implications of cubic physical aerodynamic non-linearities on the character of the flutter instability boundary // Int. J. of Non-Linear Mechanics.– 2003.– **38**– С. 173–199.
4. B. I. Epureanu, L. S. Tang, M. P. Paidoussis Coherent structures and their influence on the dynamics of aeroelastic panels // Int. J. of Non-Linear Mechanics.– 2004.– **39**– С. 977–991.
5. B. Popescu Deteriorated geometrical stiffness for higher order finite elements with application to panel flutter // Nonlinear Dynamics.– 1999.– **18**– С. 89–103.
6. Lee I., D.-M. Lee, I.-K. Oh Supersonic flutter analysis of stiffened laminated plates subject to thermal load // J. of Sound and Vibr.– 1999.– **224**(1)– С. 49–67.
7. Новичков Ю.Н. О применении трехмерных аэродинамических теорий к задачам выпучивания и флаттера панелей // Изв. АН СССР. Мех. твердого тела.– 1963.– № 3.– С. 26–37.
8. Вольмир А.С., Ништ М.И., Пономарев А.Т. Нелинейные колебания пластины и цилиндрической панели при срывном нестационарном обтекании // Прикладная механика.– 1976.– Т. 11, № 1.– С. 12–17.
9. D. Tang, E. H. Dowell Limit cycle oscillations of two-dimensional panels in low subsonic flow // Int. J. of Non-linear Mechanics.– 2002.– **37**– С. 1199–1209.
10. A. Kornecki, E. H. Dowell, J. O'Brien On the aeroelastic instability of two-dimensional panels in uniform incompressible flow // Journal of Sound and Vibration.– 1976.– **47**(2)– С. 163–178.
11. Селезов И.Т. Панельный флаттер пластины в потоке сжимаемого газа // Сб. науч. трудов конференции “Аэрогидродинамика и аэроакустика: проблемы и перспективы”.– 22-24 октября 2009.– ХАИ.– С. 183–186.
12. Фын Я.Ц. Введение в теорию аэроупругости.– М.: ГИФМЛ, 1950.– 424 с.
13. Y. Fu, W. G. Price Interactions between a partially or totally immersed vibrating cantilever plate and the surrounding fluid // Journal of Sound and Vibration.– 1987.– **118**(3)– С. 495–513.
14. Ergin A., Ugurlu B. Linear vibration analysis of cantilever plates partially submerged in fluid // Journal of Fluids and Structures.– 2003.– **17**– С. 927–939.
15. Белоцерковский С.М., Ништ М.И. К расчету срывного нестационарного обтекания тонкого профиля // Изв. АН СССР. Механика жидкости и газа.– 1972.– № 3.– С. 177–182.
16. Кантор Б.Я., Стрельникова Е.А. Гиперсингулярные интегральные уравнения в задачах механики сплошной среды.– Харьков: Новое слово, 2005.– 253 с.
17. Голубев В.В. Лекции по теории крыла.– М.-Л.: Гостехтеориздат, 1949.– 480 с.
18. Гюнтер Н.М. Теория потенциала и ее применение к основным задачам математической физики.– М.: Гостехтеориздат, 1953.– 416 с.
19. J.L. Hess Review of integral-equation techniques for solving potential-flow problems with emphasis on the surface-source method // Computer methods in applied mechanics and engineering.– 1975.– **5**– С. 145–196.
20. M. Amabili Nonlinear Vibrations and Stability of Shells and Plates – London: Cambridge University Press. – 2008.
21. Аврамов К.В. Применение нелинейных нормальных форм к анализу вынужденных колебаний // Прикладная механика.– 2008.– № 11.– С. 45–51.
22. Аврамов К.В. Нелинейные нормальные формы параметрических колебаний // Доповіді Національної Академії Наук України.– 2008.– № 11.– С. 41–47.
23. Аврамов К.В., Пьерр К., Ширяева Н.С. Нелинейные нормальные формы колебаний систем с гироскопическими силами // Доповіді Національної Академії Наук України.– 2006.– № 11.– С. 7–10.